

## РЕШЕНИЕ ЗАДАЧИ ОБ ИЗГИБЕ УПРУГОПЛАСТИЧЕСКОЙ КРУГОВОЙ ПЛАСТИНЫ НА ОСНОВАНИИ ПАСТЕРНАКА

<sup>1</sup> Козел А.Г.

<sup>1</sup> Белорусский государственный университет транспорта, Гомель

Трёхслойные конструкции повсеместно используются в ответственных агрегатах летательных аппаратов всех классов: корпусах пассажирских и военных самолётов, вертолётов, ракет; двигателях различных типов. Так же актуально применение подобных элементов конструкций в интенсивно развивающихся отраслях строительства и промышленности. Слоистые конструкции при относительно малом весе, способны обеспечить не только хорошие звуко- и теплоизолирующие свойства, заданные показатели прочности и жёсткость, но и противостоять ряду других негативных воздействий.

Изотермическое деформирование физически нелинейных слоистых элементов конструкций исследовалось в работах [1–4]. Статьи [5–7] посвящены деформированию трехслойных стержней и пластин в температурном и радиационном полях. Изгиб неоднородных конструкций, связанных с упругим основанием Винклера, рассмотрен в работах [8–9].

Осесимметричное деформирование несимметричных по толщине упругих трехслойных пластин на основании Пастернака исследовалось в работах [10–15].

Здесь приведена постановка и получено аналитическое решение в перемещениях задачи об изгибе трёхслойной круговой пластины с физически нелинейными слоями, связанной с упругим основанием Пастернака.

### 1. Постановка задачи

Рассматривается круговая трёхслойная пластина с лёгким заполнителем на упругом основании (рис. 1). Для изотропных несущих слоев толщиной  $h_1$ ,  $h_2$  приняты гипотезы Кирхгофа о несжимаемости, прямолинейности и перпендикулярности нормали к деформированной срединной плоскости пластины. В несжимаемом по толщине заполнителе ( $h_3 = 2c$ ) деформированная нормаль остается прямолинейной, не изменяет своей длины, но поворачивается на некоторый дополнительный угол  $\psi$ ; тангенциальные перемещения линейно распределены по толщине; не учитывается работа касательных напряжений  $\sigma_{rz}^{(3)}$ .

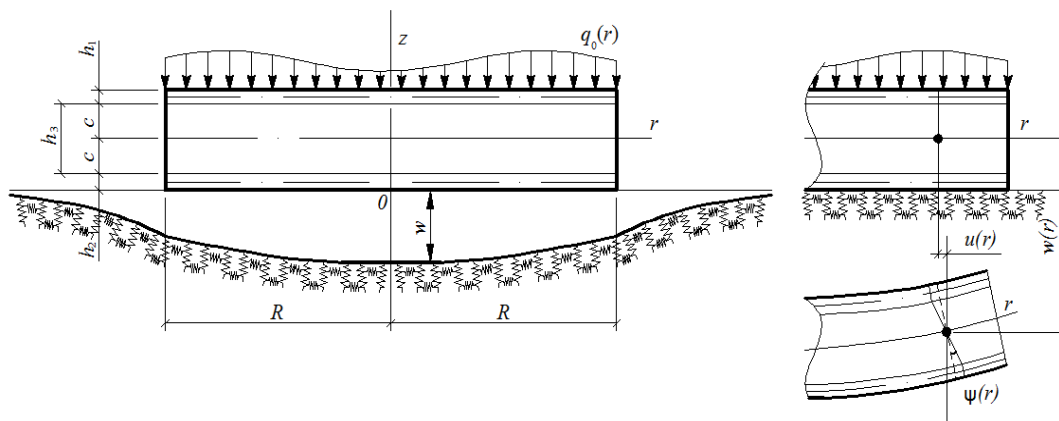


Рис. 1. Схема деформирования круговой пластины на упругом основании

Постановка задачи и ее решение проводятся в цилиндрической системе координат  $r, \varphi, z$ . Внешняя вертикальная нагрузка не зависит от координаты  $\varphi$ :  $q_0 = q_0(r)$ . На контуре пластины предполагается наличие жесткой диафрагмы, препятствующей относительному сдвигу слоев. На нижнюю поверхность пластины действует распределенная по ее площади реакция основания  $q_R$ , которую принимаем в соответствии с моделью Пастернака, согласно которой [11]

$$q_R(r) = -\kappa_0 w + t_f \Delta w, \quad (1)$$

где  $\kappa_0$  – коэффициент сжатия;  $t_f$  – коэффициент сдвига материала основания;  $\Delta$  – оператор Лапласа в полярной системе координат

$$\Delta w(r) = \frac{d^2 w}{dr^2} + \frac{1}{r} \frac{dw}{dr}.$$

В силу симметрии нагрузки тангенциальные перемещения в слоях отсутствуют:  $u_\varphi^{(k)} = 0$  ( $k=1,2,3$  – номер слоя), а прогиб пластины, относительный сдвиг в заполнителе и радиальное перемещение координатной плоскости не зависят от координаты  $\varphi$ , т. е.  $w(r), \psi(r), u(r)$ . В дальнейшем эти функции считаются искомыми. Через  $h_k$  обозначена толщина  $k$ -го слоя.

Используя гипотезу прямолинейности нормали заполнителя  $2\varepsilon_{rz}^{(3)} = u_r^{(3)}, z + w_{,r} = \psi$ , после интегрирования получим выражения радиальных перемещений в слоях  $u_r^k$  через искомые функции

$$\begin{aligned} u_r^{(1)} &= u + c\psi - zw_{,r}, & (c \leq z \leq c+h_1), \\ u_r^{(3)} &= u + z\psi - zw_{,r}, & (-c \leq z \leq c), \\ u_r^{(2)} &= u - c\psi - zw_{,r}, & (-c-h_2 \leq z \leq -c), \end{aligned} \quad (2)$$

где  $(u+c\psi)$  – величина смещения внешнего несущего слоя за счет деформации заполнителя, для второго несущего слоя это смещение  $(u-c\psi)$ ,  $z$  – координата рассматриваемого волокна, запятая в нижнем индексе обозначает операцию дифференцирования по следующей за ней координате.

Деформации в слоях следуют из (2) и соотношений Коши:

$$\begin{aligned} \varepsilon_r^{(1)} &= u_{,r} + c\psi_{,r} - zw_{,rr}, & \varepsilon_\varphi^{(1)} &= \frac{1}{r}(u + c\psi - zw_{,r}), & \varepsilon_{rz}^{(1)} &= 0, \\ \varepsilon_r^{(2)} &= u_{,r} - c\psi_{,r} - zw_{,rr}, & \varepsilon_\varphi^{(2)} &= \frac{1}{r}(u - c\psi - zw_{,r}), & \varepsilon_{rz}^{(2)} &= 0, \\ \varepsilon_r^{(3)} &= u_{,r} + z\psi_{,r} - zw_{,rr}, & \varepsilon_\varphi^{(3)} &= \frac{1}{r}(u + z\psi - zw_{,r}), & \varepsilon_{rz}^{(3)} &= \frac{1}{2}\psi. \end{aligned}$$

Предполагается, что материалы несущих слоев в процессе деформирования проявляют упругопластические свойства, заполнитель – нелинейно упругие. Физические уравнения состояния соответствуют теории малых упругопластических деформаций:

$$\begin{aligned} s_\alpha^{(k)} &= 2G_k(1 - \omega_k(\varepsilon_u^{(k)}))\vartheta_\alpha^{(k)}, & \sigma^{(k)} &= 3K_k\varepsilon^{(k)}, \\ s_{rz}^{(3)} &= 2G_3\vartheta_{rz}^{(3)}(1 - \omega_3(\varepsilon_u^{(3)})), & (k=1,2,3, \alpha=r,\varphi), \end{aligned} \quad (3)$$

где  $s_\alpha^{(k)}, \vartheta_\alpha^{(k)}, \sigma^{(k)}, \varepsilon^{(k)}$  – девиаторные и шаровые части тензоров напряжений и деформаций;  $G_k, K_k$  – модули сдвиговой и объёмной деформации  $k$ -го слоя;  $\omega_k(\varepsilon_u^{(k)})$  – функции пластичности материалов несущих слоев, которые в случае  $\varepsilon_u^{(k)} \leq \varepsilon_y^{(k)}$  следует положить равными нулю;  $\varepsilon_u^{(k)}$  – интенсивность деформаций в  $k$ -м слое ( $k=1,2$ ),  $\varepsilon_y^{(k)}$  – деформационный предел текучести материалов несущих слоёв;  $s_{rz}^{(3)}, \vartheta_{rz}^{(3)}$  – касательное напряжение и угловая деформация в заполнителе;  $\omega_3(\varepsilon_u^{(3)})$  – универсальная функция

физической нелинейности заполнителя, причём  $\omega_3 \equiv 0$  при  $\varepsilon_u^{(3)} \leq \varepsilon_s^{(3)}$ ;  $\varepsilon_s^{(3)}$  – предел физической нелинейности материала заполнителя.

Используя компоненты тензора напряжений  $\sigma_\alpha^{(k)}$  ( $\alpha = r, \varphi$ ), введем обобщенные внутренние силы и моменты в пластине:

$$T_\alpha \equiv \sum_{k=1}^3 T_\alpha^{(k)} = \sum_{k=1}^3 \int_{h_k} \sigma_\alpha^{(k)} dz, \quad M_\alpha \equiv \sum_{k=1}^3 M_\alpha^{(k)} = \sum_{k=1}^3 \int_{h_k} \sigma_\alpha^{(k)} z dz, \\ H_\alpha = M_\alpha^{(3)} + c(T_\alpha^{(1)} - T_\alpha^{(2)}). \quad (4)$$

Компоненты тензора напряжений в слоях, используя (3), представим через девиаторную и шаровую части тензора деформаций, выделив упругие (индекс «e») и неупругие (индекс « $\omega$ ») слагаемые:

$$\sigma_\alpha^{(k)} = \sigma_{ae}^{(k)} - \sigma_{a\omega}^{(k)}, \quad (\alpha = r, \varphi; k = 1, 2, 3), \\ \sigma_{rz}^{(3)} = \sigma_{rze}^{(3)} - \sigma_{rz\omega}^{(3)}, \quad (5)$$

где

$$\sigma_{ae}^{(k)} = 2G_k \varepsilon_\alpha^{(k)} + K_k \theta^{(k)}, \quad \sigma_{a\omega}^{(k)} = 2G_k \omega_k \varepsilon_\alpha^{(k)}, \quad \sigma_{rze}^{(3)} = 2G_3 \varepsilon_{rz}^{(3)}, \quad \sigma_{rz\omega}^{(3)} = 2G_3 \omega_3 \varepsilon_{rz}^{(3)}.$$

Внутренние усилия и моменты в слоях пластины также представим в виде разности линейной (индекс «e») и нелинейной (индекс « $\omega$ ») частей:

$$T_\alpha^{(k)} = T_{ae}^{(k)} - T_{a\omega}^{(k)}, \quad M_\alpha^{(k)} = M_{ae}^{(k)} - M_{a\omega}^{(k)}.$$

Величины  $T_{ae}^{(k)}$ ,  $T_{a\omega}^{(k)}$ ,  $M_{ae}^{(k)}$ ,  $M_{a\omega}^{(k)}$  вычисляются по формулам (4), в которых напряжения  $\sigma_\alpha^{(k)}$  нужно заменить соответственно на  $\sigma_{ae}^{(k)}$ ,  $\sigma_{a\omega}^{(k)}$  (5). После этого обобщенные внутренние усилия будут следующими:

$$T_\alpha = T_{ae} - T_{a\omega} = \sum_{k=1}^3 T_{ae}^{(k)} - \sum_{k=1}^3 T_{a\omega}^{(k)}, \quad M_\alpha = M_{ae} - M_{a\omega} = \sum_{k=1}^3 M_{ae}^{(k)} - \sum_{k=1}^3 M_{a\omega}^{(k)}, \\ H_{ae} = M_{ae}^{(3)} + c(T_{ae}^{(1)} - T_{ae}^{(2)}), \quad H_{a\omega} = M_{a\omega}^{(3)} + c(T_{a\omega}^{(1)} - T_{a\omega}^{(2)}). \quad (6)$$

Система дифференциальных уравнений равновесия в усилиях, описывающая деформирование круговой упругой трехслойной пластины на упругом основании была получена в [18] без использования физических уравнений состояния, поэтому ее можно принять за исходную:

$$T_{r,r} + \frac{1}{r}(T_r - T_\varphi) = 0, \\ H_{r,r} + \frac{1}{r}(H_r - H_\varphi) = 0, \\ M_{r,rr} + \frac{1}{r}(2M_{r,r} - M_{\varphi,r}) = -(q_0 + q_R). \quad (7)$$

На контуре пластины ( $r = R$ ) должны выполняться силовые граничные условия

$$T_r = T_r^0, \quad H_r = H_r^0, \quad M_r = M_r^0, \quad M_{r,r} + \frac{1}{r}(M_r - M_\varphi) = Q^0. \quad (8)$$

Выделяя в обобщенных внутренних усилиях уравнений (7) линейные и нелинейные составляющие, в соответствии с формулами (6), получим

$$T_{r,r} + \frac{1}{r}(T_r - T_\varphi) = p_\omega, \\ H_{r,r} + \frac{1}{r}(H_r - H_\varphi) = h_\omega, \\ M_{r,rr} + \frac{1}{r}(2M_{r,r} - M_{\varphi,r}) = -q_0 - q_R + q_\omega. \quad (9)$$

Здесь в левой части уравнений собраны линейные составляющие обобщенных внутренних усилий, причем нижний индекс «e» в дальнейшем опущен для удобства.

Нелинейные добавки сосредоточены справа и включены в слагаемое с нижним индексом « $\omega$ »:

$$\begin{aligned} p_\omega &= T_{r\omega,r} + \frac{1}{r}(T_{r\omega} - T_{\phi\omega}), \quad h_\omega = H_{r\omega,r} + \frac{1}{r}(H_{r\omega} - H_{\phi\omega}), \\ q_\omega &= M_{r\omega,rr} + \frac{1}{r}(2M_{r\omega,r} - M_{\phi\omega,r}). \end{aligned} \quad (10)$$

С граничными условиями (8) поступаем аналогично:

$$\begin{aligned} T_r &= T_r^1 + T_\omega, \quad H_r = H_r^1 + H_\omega, \quad M_r = M_r^1 + M_\omega, \\ M_{r,r} + \frac{1}{r}(M_r - M_\phi) &= Q^1 + M_{r\omega,r} + \frac{1}{r}(M_{r\omega} - M_{\phi\omega}). \end{aligned}$$

**2. Уравнения равновесия в перемещениях.** Линейные (упругие) составляющие обобщенных внутренних усилий по-прежнему выражаются через перемещения по формулам приведенным в [14], поэтому система дифференциальных уравнений равновесия в перемещениях, соответствующая (9), с учётом (1) принимает вид:

$$\begin{aligned} L_2(a_1u + a_2\psi - a_3w_{,r}) &= p_\omega, \\ L_2(a_2u + a_4\psi - a_5w_{,r}) &= h_\omega, \\ L_3(a_3u + a_5\psi - a_6w_{,r}) - \kappa_0w + t_f\Delta w &= -q_0 + q_\omega. \end{aligned} \quad (11)$$

где коэффициенты  $a_i$  и дифференциальные операторы  $L_2, L_3$  следующие

$$\begin{aligned} a_1 &= \sum_{k=1}^3 h_k K_k^+, \quad a_2 = c(h_1 K_1^+ - h_2 K_2^+), \quad a_3 = h_1(c + \frac{1}{2}h_1)K_1^+ - h_2(c + \frac{1}{2}h_2)K_2^+, \\ a_4 &= c^2(h_1 K_1^+ + h_2 K_2^+ + \frac{2}{3}cK_3^+), \quad a_5 = c[h_1(c + \frac{1}{2}h_1)K_1^+ + h_2(c + \frac{1}{2}h_2)K_2^+ + \frac{2}{3}c^2 K_3^+], \\ a_6 &= h_1(c^2 + ch_1 + \frac{1}{3}h_1^2)K_1^+ + h_2(c^2 + ch_2 + \frac{1}{3}h_2^2)K_2^+ + \frac{2}{3}c^3 K_3^+, \\ K_k^+ &\equiv K_k + \frac{4}{3}G_k, \quad K_k^- \equiv K_k - \frac{2}{3}G_k, \\ L_2(g) &\equiv \left(\frac{1}{r}(rg)_{,r}\right)_{,r} \equiv g_{,rr} + \frac{g_{,r}}{r} - \frac{g}{r^2}, \quad L_3(g) \equiv \frac{1}{r}(rL_2(g))_{,r} \equiv g_{,rrr} + \frac{2g_{,rr}}{r} - \frac{g_{,r}}{r^2} + \frac{g}{r^3}. \end{aligned}$$

Система уравнений (11) является нелинейной, поэтому для её решения применим метод упругих решений Ильюшина. В этом случае система (11) переписывается в итерационном виде:

$$\begin{aligned} L_2(a_1u^{(n)} + a_2\psi^{(n)} - a_3w_{,r}^{(n)}) &= p_\omega^{(n-1)}, \\ L_2(a_2u^{(n)} + a_4\psi^{(n)} - a_5w_{,r}^{(n)}) &= h_\omega^{(n-1)}, \\ L_3(a_3u^{(n)} + a_5\psi^{(n)} - a_6w_{,r}^{(n)}) - \kappa_0w^{(n)} + t_f\Delta w^{(n)} &= -q_0 + q_\omega^{(n-1)}. \end{aligned} \quad (12)$$

где  $n$  – номер приближения;  $p_\omega^{(n-1)}, h_\omega^{(n-1)}, q_\omega^{(n-1)}$  – дополнительные «внешние» нагрузки, которые на первом шаге полагают равными нулю, а в дальнейшем вычисляют по результатам предыдущего приближения по формулам типа (10)

$$\begin{aligned} p_\omega^{(n-1)} &= T_{r\omega}^{(n-1)}{}_{,r} + \frac{1}{r}(T_{r\omega}^{(n-1)} - T_{\phi\omega}^{(n-1)}), \quad h_\omega^{(n-1)} = H_{r\omega}^{(n-1)}{}_{,r} + \frac{1}{r}(H_{r\omega}^{(n-1)} - H_{\phi\omega}^{(n-1)}), \\ q_\omega^{(n-1)} &= M_{r\omega}^{(n-1)}{}_{,rr} + \frac{1}{r}(2M_{r\omega}^{(n-1)}{}_{,r} - M_{\phi\omega}^{(n-1)}{}_{,r}), \end{aligned} \quad (13)$$

где

$$\begin{aligned} T_{\alpha\omega}^{(n-1)} &\equiv \sum_{k=1}^3 \int_{h_k} \sigma_{\alpha\omega}^{(k)(n-1)} dz = \sum_{k=1}^3 \int_{h_k} 2G_k \omega_k (\varepsilon_\alpha^{(k)(n-1)}) \varepsilon_\alpha^{(k)(n-1)} dz, \\ M_{\alpha\omega}^{(n-1)} &\equiv \sum_{k=1}^3 \int_{h_k} \sigma_{\alpha\omega}^{(k)(n-1)} z dz = \sum_{k=1}^3 \int_{h_k} 2G_k \omega_k (\varepsilon_\alpha^{(k)(n-1)}) \varepsilon_\alpha^{(k)(n-1)} z dz, \\ H_{\alpha\omega}^{(n-1)} &= M_{\alpha\omega}^{(3)(n-1)} + c(T_{\alpha\omega}^{(1)(n-1)} - T_{\alpha\omega}^{(2)(n-1)}). \end{aligned}$$

Таким образом, на каждом шаге приближения мы имеем линейную задачу теории упругости с известными дополнительными «внешними» нагрузками (13).

С помощью первых двух в третьем уравнении системы (12) обнуляем коэффициенты перед искомыми функциями  $u^{(n)}$  и  $\psi^{(n)}$ . После двукратного интегрирования этих уравнений система приводится к виду

$$\begin{aligned} u^{(n)} &= b_1 w_{,r}^{(n)} - \frac{1}{a_1 a_4 - a_2^2} \frac{1}{r} \int r \int (a_2 h_{\omega}^{(n-1)} - a_4 p_{\omega}^{(n-1)}) dr dr + C_1^{(n)} r + \frac{C_2^{(n)}}{r}, \\ \psi^{(n)} &= b_2 w_{,r}^{(n)} + \frac{1}{a_1 a_4 - a_2^2} \frac{1}{r} \int r \int (a_1 h_{\omega}^{(n-1)} - a_2 p_{\omega}^{(n-1)}) dr dr + C_3^{(n)} r + \frac{C_4^{(n)}}{r}, \\ L_3(w_{,r}^{(n)}) - t_{f1} \Delta w^{(n)} + \kappa^4 w^{(n)} &= q_0 + f_{\omega}^{(n-1)}, \end{aligned} \quad (14)$$

где  $C_1^{(n)}, C_2^{(n)}, C_3^{(n)}, C_4^{(n)}$  – константы интегрирования на  $n$ -м шаге;

$$t_{f1} = t_f D, \quad \kappa^4 = \kappa_0 D, \quad q = q_0 D, \quad b_1 = \frac{a_3 a_4 - a_2 a_5}{a_1 a_4 - a_2^2}, \quad b_2 = \frac{a_1 a_5 - a_2 a_3}{a_1 a_4 - a_2^2},$$

$$f_{\omega}^{(n-1)} = -D q_{\omega}^{(n-1)} + D_1 \frac{1}{r} (r p_{\omega}^{(n-1)})_{,r} + D_2 \frac{1}{r} (r h_{\omega}^{(n-1)})_{,r},$$

$$D = \frac{a_1 (a_1 a_4 - a_2^2)}{(a_1 a_6 - a_3^2)(a_1 a_4 - a_2^2) - (a_1 a_5 - a_2 a_3)^2}, \quad D_1 = \frac{a_1 (a_3 a_4 - a_2 a_5)}{(a_1 a_6 - a_3^2)(a_1 a_4 - a_2^2) - (a_1 a_5 - a_2 a_3)^2},$$

$$D_2 = \frac{a_1 (a_1 a_5 - a_2 a_3)}{(a_1 a_6 - a_3^2)(a_1 a_4 - a_2^2) - (a_1 a_5 - a_2 a_3)^2}.$$

Интегралы здесь и далее определённые с переменным верхним пределом, т.е.

$$\int f(r) dr \equiv \int_0^r f(r) dr.$$

Третье уравнение системы (15) в развернутом виде следующее:

$$w_{,rrrr}^{(n)} + \frac{2}{r} w_{,rrr}^{(n)} - \frac{1}{r^2} w_{,rr}^{(n)} + \frac{1}{r^3} w_{,r}^{(n)} - t_{f1} (w_{,rr}^{(n)} + \frac{1}{r} w_{,r}^{(n)}) + \kappa^4 w^{(n)} = q_0 + f_{\omega}^{(n-1)}. \quad (15)$$

Его решение получим по методике, примененной при решении задачи теории упругости [13], тогда рекуррентный прогиб будет

$$w^{(n)} = C_5^{(n)} J_0(\sqrt{a}kr) + C_6^{(n)} H_0^{(1)}(\sqrt{a}kr) + C_7^{(n)} J_0(\sqrt{a}kr) + C_8^{(n)} H_0^{(2)}(\sqrt{a}kr) + w_p^{(n)}(r), \quad (16)$$

где  $J_0(\sqrt{a}kr)$ ,  $J_0(\sqrt{a}kr)$  – функции Бесселя первого рода, нулевого порядка, комплексных аргументов  $\sqrt{a}kr$  и  $\sqrt{a}kr$ ,  $H_0^{(1)}(\sqrt{a}kr)$ ,  $H_0^{(2)}(\sqrt{a}kr)$  – функции Ханкеля первого и второго рода, нулевого порядка от тех же аргументов.

$w_p^{(n)}(r)$  – частное решение уравнения (14).

Для сплошных круговых пластин, исходя из ограниченности прогиба в начале координат, в решении (16) следует положить  $C_6^{(n)} = C_8^{(n)} = 0$ .

Рекуррентное решение задачи об изгибе круговой упругопластической трехслойной пластины на упругом основании, с учетом ограниченности перемещений в центре пластины  $C_2^{(n)} = C_4^{(n)} = 0$ , принимает вид

$$\begin{aligned} w^{(n)} &= C_5^{(n)} J_0(\sqrt{a}kr) + C_7^{(n)} J_0(\sqrt{a}kr) + w_p^{(n)}(r), \\ u^{(n)} &= b_1 w_{,r}^{(n)} - \frac{1}{a_1 a_4 - a_2^2} \frac{1}{r} \int r \int (a_2 h_{\omega}^{(n-1)} - a_4 p_{\omega}^{(n-1)}) dr dr + C_1^{(n)} r, \\ \psi^{(n)} &= b_2 w_{,r}^{(n)} + \frac{1}{a_1 a_4 - a_2^2} \frac{1}{r} \int r \int (a_1 h_{\omega}^{(n-1)} - a_2 p_{\omega}^{(n-1)}) dr dr + C_3^{(n)} r. \end{aligned} \quad (17)$$

Константы интегрирования  $C_1^{(n)}$ ,  $C_3^{(n)}$ ,  $C_5^{(n)}$ ,  $C_7^{(n)}$  следуют из условий закрепления пластины.

Краевая задача по определению перемещений в круглой пластине на основании Пастернака замыкается присоединением к (17) силовых (8) или кинематических граничных условий.

При жесткой заделке контура пластины решение (17) необходимо подставить в граничные условия

$$u^{(n)} = \psi^{(n)} = w^{(n)} = w_{,r}^{(n)} = 0 \text{ при } r=R.$$

В результате получаем линейную систему алгебраических уравнений для определения констант интегрирования:

$$\begin{aligned} b_1 w_{,r}^{(n)}(R) - \int r \int (a_2 h_{\omega}^{(n-1)} - a_4 p_{\omega}^{(n-1)}) dr dr \Big|_{r=R} + C_1^{(n)} R &= 0, \\ b_2 w_{,r}^{(n)}(R) + \int r \int (a_1 h_{\omega}^{(n-1)} - a_2 p_{\omega}^{(n-1)}) dr dr \Big|_{r=R} + C_3^{(n)} R &= 0, \\ C_5^{(n)} J_0(\sqrt{a} \kappa R) + C_6^{(n)} J_0(\sqrt{a} \kappa R) + w_p^{(n)}(R) &= 0, \\ -\kappa(\sqrt{a} C_5^{(n)} J_1(\sqrt{a} \kappa R) + \sqrt{a} C_7^{(n)} J_1(\sqrt{a} \kappa R)) + w_p^{\prime(n)}(R) &= 0. \end{aligned} \quad (18)$$

Здесь использовано выражение производной от прогиба (17)

$$w_{,r}^{(n)}(R) = -\kappa(\sqrt{a} C_5^{(n)} J_1(\sqrt{a} \kappa R) + \sqrt{a} C_7^{(n)} J_1(\sqrt{a} \kappa R)) + w_p^{\prime(n)}(R),$$

где  $w_p^{\prime(n)}(R)$  – значение на контуре производной от частного решения.

Из системы (18) следуют константы интегрирования

$$\begin{aligned} C_1^{(n)} &= \frac{1}{R} \int r \int (a_2 h_{\omega}^{(n-1)} - a_4 p_{\omega}^{(n-1)}) dr dr \Big|_{r=R}, \quad C_3^{(n)} = -\frac{1}{R} \int r \int (a_1 h_{\omega}^{(n-1)} - a_2 p_{\omega}^{(n-1)}) dr dr \Big|_{r=R}, \\ C_5^{(n)} &= \frac{w_p^{\prime(n)}(R) J_0(\sqrt{a} \kappa R) + \kappa \sqrt{a} J_1(\sqrt{a} \kappa R) w_p^{(n)}(R)}{\kappa(\sqrt{a} J_1(\sqrt{a} \kappa R) J_0(\sqrt{a} \kappa R) - \sqrt{a} J_1(\sqrt{a} \kappa R) J_0(\sqrt{a} \kappa R))}, \\ C_7^{(n)} &= \frac{w_p^{\prime(n)}(R) J_0(\sqrt{a} \kappa R) + \kappa \sqrt{a} J_1(\sqrt{a} \kappa R) w_p^{(n)}(R)}{\kappa(\sqrt{a} J_1(\sqrt{a} \kappa R) J_0(\sqrt{a} \kappa R) - \sqrt{a} J_0(\sqrt{a} \kappa R) J_1(\sqrt{a} \kappa R))}. \end{aligned} \quad (19)$$

Таким образом, система (17) с константами интегрирования (19) дает рекуррентное решение задачи теории малых упругоупругих деформаций для круговой трехслойной пластины, связанной с упругим основанием Пастернака при произвольной осесимметричной нагрузке.

*Работа выполнена при финансовой поддержке Белорусского Республиканского фонда фундаментальных исследований (проект № Т18Р-090)*

## ЛИТЕРАТУРА

1. Старовойтов, Э. И. О переменном нагружении вязко-пластических трехслойных полых оболочек / Э. И. Старовойтов // Вестник МГУ. Сер. 1. Мат. Мех. – 1980. – № 2. – С. 92–96.
2. Москвитин, В.В. К исследованию напряженно-деформированного состояния двухслойных металлополимерных пластин при циклических нагружениях / В.В. Москвитин, Э.И. Старовойтов // Изв. АН СССР. Механика твердого тела. – 1986. – № 1. – С. 116–121.
3. Москвитин, В.В. Деформация и переменные нагружения двухслойных металлополимерных пластин / В.В. Москвитин, Э.И. Старовойтов // Механика композитных материалов. – 1985. – № 3. – С. 409.
4. Старовойтов, Э.И. Деформирование трехслойного упругого стержня локальными нагрузками / Э.И. Старовойтов, А.В. Яровая, Д.В. Леоненко // Проблемы машиностроения и автоматизации (Москва). – 2001. – № 4. – С. 37–40.
5. Старовойтов, Э. И. К описанию термомеханических свойств некоторых конструкционных материалов // Пробл. прочности. – 1988. – № 4. – С. 11–15.

6. Горшков, А. Г. Циклические нагрузки упругопластических тел в нейтронном потоке / А.Г. Горшков, Э. И. Старовойтов, А.В. Яровая // *Изв РАН, Механика твёрдого тела*. – 2001. – № 1. – С. 79–85.
7. Старовойтов Э.И. Упругопластическое деформирование трёхслойных стержней в температурном поле / Э.И. Старовойтов // *Проблемы машиностроения и автоматизации*. – 2012. – № 3. – С. 91-98.
8. Starovoitov, É.I. Elastoplastic bending of a sandwich bar on an elastic foundation / É.I. Starovoitov, D.V. Leonenko, A.V. Yarovaya // *International Applied Mechanics*. 2007. Vol. 43, N 4. P. 451-459.
9. Leonenko, D. V. Thermal impact on a circular sandwich plate on an elastic foundation / D.V. Leonenko, E.I. Starovoitov // *Mechanics of Solids*. – 2012. – Vol. 47, № 1. – P. 111–118.
10. Козел, А.Г. Математическая модель деформирования круговой трёхслойной пластины на основании Пастернака / А.Г. Козел // *Проблемы физики, математики и техники*. – Гомель: ГГУ им. Ф.Скорины. – 2017. – № 1(30). – С. 42-46.
11. Козел, А.Г. Деформирование круговой трёхслойной пластины на основании Пастернака / А.Г. Козел // *Теоретическая и прикладная механика*. – Минск: БНТУ. – 2017. – № 32. – С. 235-240.
12. Козел, А.Г. Перемещения в круговой трёхслойной пластине на двухпараметрическом основании / А.Г. Козел // *Механика. Исследования и инновации*. – 2017. – Вып. 10. – С. 90-95.
13. Козел, А.Г. Деформирование круговой трёхслойной пластины, защемленной по контуру, на основании Пастернака / А.Г. Козел // *Теоретическая и прикладная механика*. – Минск: БНТУ. – 2018. – № 33. – С. 318-323.
14. Козел, А.Г. Деформированное состояние трёхслойной круговой пластины, связанной с основанием Пастернака / А.Г. Козел // *Математическое моделирование, компьютерный и натурный эксперимент в естественных науках*. – 2018. – № 1; URL: <http://mathmod.esrae.ru/17-60> (дата обращения: 11.06.2018).
15. Старовойтов, Э.И. Изгиб упругой трёхслойной круговой пластины на основании Пастернака / Э.И. Старовойтов, А.Г. Козел // *Механика композиционных материалов и конструкций*. – 2018. – Т.24. – №1. – С.392-406.